

UDC 538.9 Condensed matter physics. Solid state physics

## МЕЖЗОННОЕ ОПТИЧЕСКОЕ ПОГЛОЩЕНИЕ В МОДИФИЦИРОВАННОЙ ПОТЕНЦИАЛЬНОЙ ЯМЕ ПЕШЛЯ-ТЕЛЛЕРА

**И.Р. Гадирова**

*Бакинский Государственный Университет*  
irada.gadirova@mail.ru

**Аннотация:**

*Вычислен коэффициент межзонного поглощения света в гетероструктурах с модифицированной потенциальной ямой Пешля-Теллера. Рассмотрена зависимость коэффициента поглощения от частоты света и параметров квантовой ямы.*

**Ключевые слова:** *поглощение света, потенциальная яма Пешля-Теллера.*

Рассмотрим полупроводниковую структуру с модифицированной потенциальной ямой Пешля-Теллера, в которой зависимость потенциальной энергии частицы от координаты  $z$  имеет вид [1]:

$$V(z) = \begin{cases} V_0 \operatorname{th}^2(\alpha z) & |z| \leq \frac{a}{2} \\ V_0 & |z| \geq \frac{a}{2} \end{cases}, \quad (1)$$

где  $V_0 = \frac{\hbar^2 \alpha^2}{2m} \lambda(\lambda + 1)$ ,  $\lambda > 0$ ,  $a$  - ширина квантовой ямы

В приближении огибающей функции волновые функции электрона в квантовой яме можно написать в виде:

$$\psi_{nk_{\perp}}^i(\vec{r}) = S^{-1/2} u_i(\vec{r}) \exp(i\vec{k}_{\perp} \vec{r}_{\perp}) \varphi_{n_i}(z) \quad (2)$$

Здесь индекс  $i$  обозначает состояния, принадлежащие зоне проводимости ( $i = c$ ) и валентной зоне ( $i = v$ ),  $n_i$  - индекс подзоны,  $\vec{r}_{\perp}$  - двумерный вектор в плоскости слоев, имеющих площадь  $S$ ,  $u_i(\vec{r})$  - периодическая часть блоховской функции исходного материала,  $k_{\perp}^2 = k_x^2 + k_y^2$ ,  $\varphi_{n_i}(z)$  - зависящая от  $z$  огибающая функция. Огибающие функции  $\varphi_{n_i}(z)$  являются решениями уравнения Шредингера с потенциальной энергией (1) и могут быть написаны в виде:

$$\varphi_{\lambda}^n(\alpha z) = \left( \frac{\alpha(\lambda - n)\Gamma(2\lambda - n + 1)}{\Gamma(n + 1)} \right)^{\frac{1}{2}} P_{\lambda}^{n-\lambda}(\operatorname{th}(\alpha z)), \quad (3)$$

где  $P_{\lambda}^{n-\lambda}(\operatorname{th}(\alpha z))$  - присоединённые полиномы Лежандра,  $n = 0, 1, 2, 3, \dots, [\lambda]$ ,  $[\lambda]$  - целая часть от  $\lambda$ . Собственные значения энергии для потенциала (1) равны:

$$\mathcal{E}_n = \frac{\hbar^2 \alpha^2}{2m} (\lambda(\lambda + 1) - (\lambda - n)^2) \quad (4)$$

Полные энергии электрона в зоне проводимости и в валентной зоне соответственно равны:

$$E_n(k_{\perp}) = \mathcal{E}_n + \frac{\hbar^2 k_{\perp}^2}{2m_c} = \frac{\hbar^2 \alpha^2}{2m_c} (\lambda(\lambda+1) - (\lambda-n)^2) + \frac{\hbar^2 k_{\perp}^2}{2m_c} \quad (5)$$

$$E_l = -E_g - \mathcal{E}_l - \frac{\hbar^2 k_{\perp}^2}{2m_v} = -E_g - \frac{\hbar^2 \alpha^2}{2m_v} [\lambda(\lambda+1) - (\lambda-l)^2] - \frac{\hbar^2 k_{\perp}^2}{2m_v} \quad (6)$$

где  $E_g$  - ширина запрещённой зоны объёмного полупроводника,

Рассмотрим простую двухзонную модель и предположим, что валентная зона полностью заполнена, а зона проводимости полностью свободна. В первом приближении теории возмущений для вероятности перехода из валентной зоны в зону проводимости имеем [2]:

$$W = \frac{2\pi}{\hbar} \sum_{cv} |H_{cv}(\vec{k})|^2 \delta(E_c - E_v - \hbar\omega), \quad (7)$$

где  $H_{cv}(\vec{k})$  - матричный элемент энергии возмущения

$$\hat{H}' = -\frac{e}{mc} \vec{A} \hat{p}$$

на волновых функциях (2) валентной зоны и зоны проводимости,

$\vec{A}$  - вектор-потенциал электромагнитной волны,  $|A| = \frac{\sqrt{2\pi N \hbar \omega}}{\omega/v}$ ,  $v$  - фазовая скорость

$v = \frac{c}{n}$ ,  $\hat{p} = -i\hbar\nabla$ ,  $N$  - число фотонов в единице объема. Для  $H_{cv}(\vec{k})$  имеем:

$$H_{cv}(\vec{k}) = \frac{eA_0}{mc} (\vec{\xi} \vec{P}_{cv}) \delta_{k_{\perp} k_{\perp}'} I_{nl}, \quad (8)$$

Здесь  $\vec{\xi}$  - единичный вектор поляризации электромагнитной волны,  $\vec{P}_{cv}$  - матричный элемент оператора импульса на волновых функциях Блоха в зоне проводимости и в валентной зоне,  $\delta_{k_{\perp} k_{\perp}'}$  отражает закон сохранения квазиимпульса,

$$I_{nl} = \int \varphi_n^*(z) \hat{p}_z \varphi_l(z) dz \quad (9)$$

Подставив выражение (9) в (8) и учитывая, что  $I_{nl} = -\delta_{nl}$ , после интегрирования получим:

$$W = \frac{2\mu e^2 A_0^2}{\hbar^3 (a+b) m^2 c^2} (\vec{\xi} \vec{P}_{cv})^2 \sum_n \Theta(\hbar\omega - E_g - \frac{\hbar^2 \alpha^2}{2\mu} [\lambda(\lambda+1) - (\lambda-n)^2]) \quad (10)$$

где  $\frac{1}{\mu} = \frac{1}{m_c} + \frac{1}{m_v}$ ,  $b$  - ширина барьера,  $\Theta(x)$  - ступенчатая функция Хевисайда.

Коэффициент поглощения определяется из соотношения:

$$\alpha = \frac{W \sqrt{\varepsilon}}{Nc}, \quad (11)$$

где  $\varepsilon$  - диэлектрическая проницаемость полупроводника.

Используя выражения (10) и (11), для коэффициента межзонного поглощения получим:

$$\beta = \frac{4\pi\mu e^2 (\vec{\xi} \vec{P}_{cv})^2}{\hbar(a+b)m^2 c \sqrt{\varepsilon \hbar \omega}} \sum_n \Theta(\hbar\omega - E_g - \frac{\hbar^2 \alpha^2}{2\mu} [\lambda(\lambda+1) - (\lambda-n)^2]) \quad (12)$$

Из выражений (7), (8) и (9) видно, что разрешены оптические переходы только между подзонами валентной зоны и зоны проводимости с одинаковыми номерами  $n = l$ .

На рис.1 и 2 представлена частотная зависимость коэффициента поглощения для  $GaAs/Al_xGa_{1-x}As$  при различных значениях параметра  $\lambda$  и параметра  $\alpha$ . При этом

использованы следующие значения параметров:  $E_g = 1.43 \text{ eV}$ ,  $a = 500 \text{ \AA}$ ,

$m_c = 0.06m_0$ ,  $m_v = 0.4m_0$ ,  $\varepsilon = 8.2$ ,  $\vec{P}_{cv} = 1.2 \cdot 10^{-38} \text{ эрг} \cdot \text{с}$ ,  $b = 5a$ . Из графиков  $\beta(\omega)$  видно, что с увеличением параметра  $\lambda$  максимумы поглощения смещаются в высокочастотную область, расстояние между ними увеличивается, высота соответствующих максимумов и высота ступенек уменьшается. С уменьшением параметра  $\alpha$  максимумы поглощения смещаются в низкочастотную область, расстояние между ними уменьшается, высота соответствующих максимумов и высота ступенек уменьшается. Это объясняется тем, что с ростом  $\lambda$  ширина соответствующих подзон увеличивается, а с увеличением номера подзоны при данном  $\lambda$ , а также с уменьшением параметра  $\alpha$  ширина подзон уменьшается.

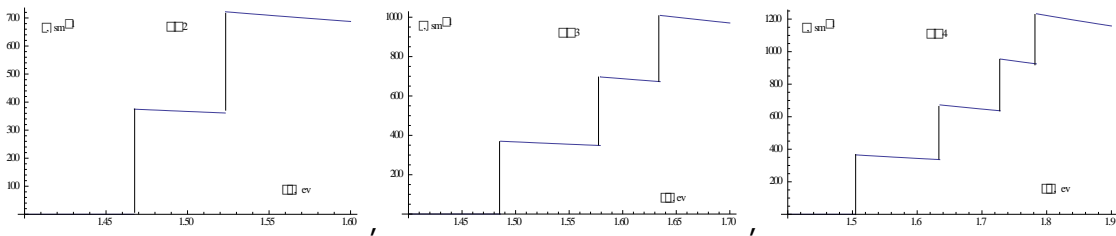


Рис. 1

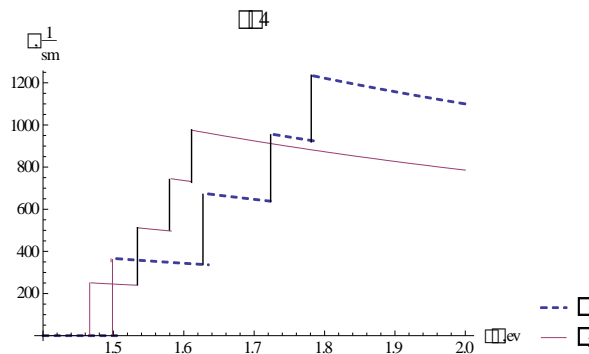


Рис.2

## ЛИТЕРАТУРА

1. З. Флюгге. Задачи по квантовой механике. Т1 Москва. Мир. 1974 343с.
2. Ф. Бассани, Дж. Пастори Парравичини. Электронные состояния и оптические переходы в твёрдых телах. Москва: «Наука», 1982, 392 с.

Talks given in International Conference “Modern Trends in Physics” devoted to the 10 year celebration of Institute for Physical Problems of Baku State University, 25-26 December, 2015, Baku, Azerbaijan